

# Multimedia Technologies

## Project Report

### 1. Members

序号	学号	专业班级	姓名	性别	分工
1	3200102708	计科 2002	刘思锐	男	独立完成

### 2. Project Introduction

#### 2.1 工作简介

本次实验的主题是实现与 JPEG 类似的有损图像压缩算法。实验使用 C++ 进行编程，利用了 OpenCV 库提供的图片源文件读取和矩阵运算等基础支持函数，但核心算法部分，例如颜色下采样、DCT 变换、霍夫曼编码等均为自己编写。

#### 2.2 开发环境和运行说明

开发环境	
操作系统	MacOS Ventura 13.3.1
CPU	Apple Silicon M1
内存	16G
开发工具	Visual Studio Code
编译器	clang-1403.0.22.14.1

运行环境	
操作系统	任意（非 darwin 环境需重新编译）
CPU	任意（非 arm 架构需重新编译）
内存	4G
环境依赖	OpenCV 3.4.x

工程附带上述开发环境下的 CMakeList 文件，可以使用如下命令重新编译：

```
$ mkdir build && cd build  
$ cmake ../  
$ make
```

编码器可执行文件名为 encode2708，使用方法如下，其中源文件可以是任意 OpenCV 支持打开的图片格式：

```
$ ./encode2708 [source picture path] [saved file name]
```

解码器可执行文件名为 decode2708，使用方法如下：

```
$ ./decode2708 [source file path]
```

项目自带的可执行文件使用动态连接，如无法运行请检查 OpenCV 环境配置是否正确。

## 3. Technical Details

### 3.1 理论基础

#### 3.1.1 DCT 变换

一维的 DCT 变换公式如下：

$$F(u) = c(u) \sum_{i=0}^{N-1} f(i) \cos\left[\frac{(i + 0.5)u\pi}{N}\right]$$
$$c(u) = \begin{cases} \sqrt{\frac{1}{N}}, & u = 0 \\ \sqrt{\frac{2}{N}}, & u \neq 0 \end{cases}$$

其本质上在做信号分解，将一个原始信号分解为直流信号和若干正交的余弦信号的叠加，算法输出向量的含义是不同分量的系数。DCT 可以看作傅立叶变换的一种特殊情况，因此一种可行的实现方式是基于 FFT 稍作变形。

二维 DCT 则是在一维的基础上再进行一次 DCT 变换，两次变换方向相互正交。公式如下：

$$F(u, v) = c(u)c(v) \sum_{i=0}^{N-1} \sum_{j=0}^{N-1} f(i, j) \cos\left[\frac{(i + 0.5)u\pi}{N}\right] \cos\left[\frac{(j + 0.5)v\pi}{N}\right]$$

基于二维 DCT 是两次方向相互正交的一维 DCT 叠加，引入矩阵 A：

$$A(i, j) = c(i) \cos\left[\frac{(j + 0.5)i\pi}{N}\right]$$

则二维 DCT 变换可以极其简便的表达为如下形式：

$$F = AfA^T$$

且观察到 A 是一个正交矩阵，其转置等于其逆，因此二维 DCT 变换的逆变换也可以用类似的结构表达：

$$f = A^{-1}F(A^T)^{-1} = A^TFA$$

相比基于快速傅立叶变换的做法，本方法缺点是因为涉及矩阵乘法，时间复杂度较高 ( $O(n^3)$ )；优点是易于理解，且借助 OpenCV 重载的矩阵乘法，实现非常简便。

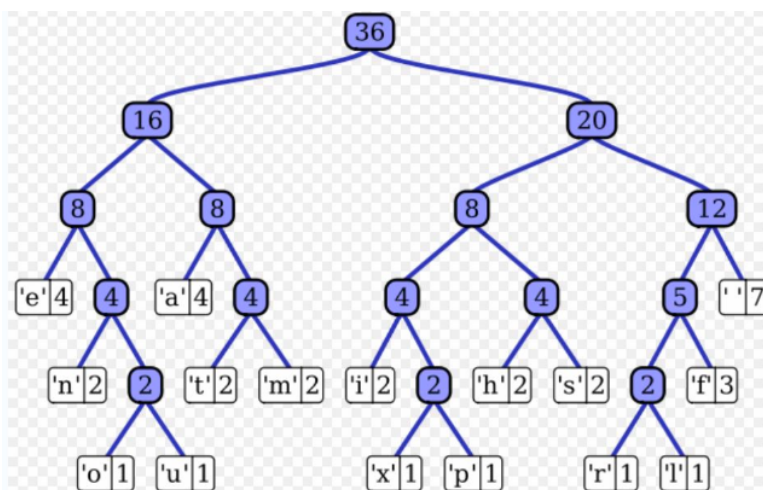
### 3.1.2 游程编码

游程编码的核心思想是“使用变动长度的码来取代连续重复出现的原始资料”来实现压缩。

举例来说，"AAAABBBCCDEEEE"，由 4 个 A、3 个 B、2 个 C、1 个 D、4 个 E 组成，经过 RLE 压缩后输出为 4A3B2C1D4E，由 14 个字符缩减到 10 个字符。对重复性较高的数据，RLE 游程编码非常有效。

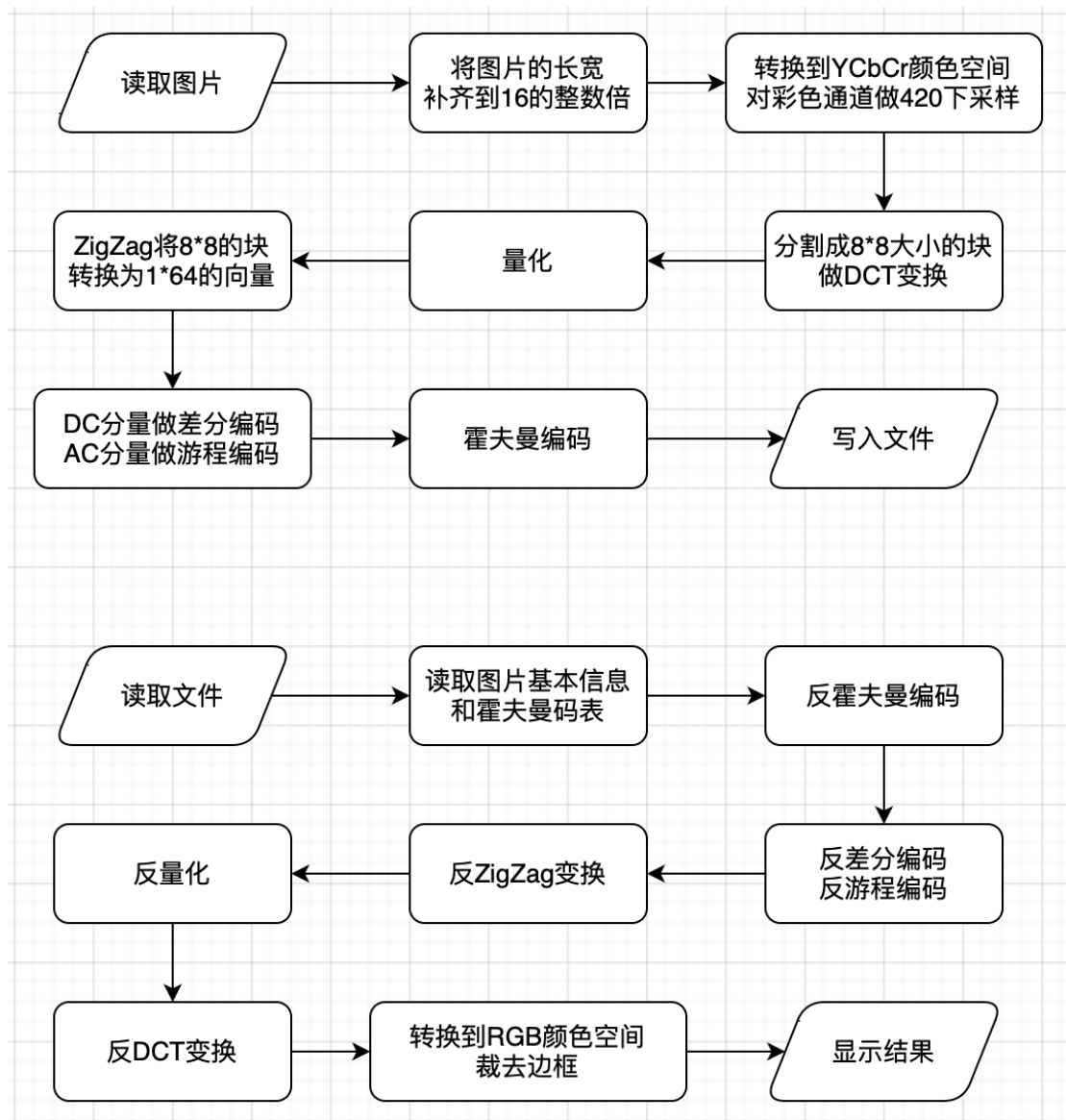
### 3.1.3 霍夫曼编码

霍夫曼编码是熵编码的一种，它的基本思想是根据字符出现的频率来构建一个最优的前缀编码表。在编码时，霍夫曼编码将出现频率较高的字符用较短的编码表示，出现频率较低的字符用较长的编码表示，从而实现数据压缩。



## 3.2 代码实现

### 3.2.1 整体流程



本算法完整遵循了标准 JPEG 使用的压缩步骤，区别主要在于：

1. 省略了众多控制字段，最终输出文件的格式不同。
2. 标准 JPEG 中三个通道各自的 AC、DC 分量分别进行霍夫曼编码，因此有六个数据段，六个码表；而本算法中三个通道共用一个码表。

### 3.2.2 长宽补齐到 16 的倍数

读取图片后第一步处理是将其长宽向上补齐到 16 的倍数，这是为了保证经过 4:2:0 颜色下采样后，颜色通道的长宽仍然可以被 8 整除。本步骤使用 OpenCV 提供的 CopyMakeBorder 函数完成。值得注意的是，本步骤中边框填充方案选用

的是 `BORDER_REFLECT`，即填充的部分与原图关于图片原有边缘镜像对称。这是为了让填充的部分的信息相比原图对称相似，从而有利于后续的 DCT 变换得到较为规整的结果。

```
copyMakeBorder( src_img, src_img,
                 0, bottom_border, 0, right_border,
                 BORDER_REFLECT);
```

最终输出的文件中包含未经填充的原图尺寸。在解码最开始，解码器会根据原图尺寸用相同的算法得到填充后的尺寸，并以此进行解码；在解码的末尾，解码器会将填充的边框裁去再进行显示。

### 3.2.3 色彩空间转换

OpenCV 图片默认以 BGR 格式读取，而在后续压缩中需要使用 YCbCr 通道，这里没有使用 OpenCV 自带的转换函数，而是通过 ITU.BT-601 标准提供的公式手动计算：

$$\begin{bmatrix} Y \\ Cb \\ Cr \end{bmatrix} = \begin{bmatrix} 0.299 & 0.587 & 0.114 \\ -0.169 & -0.331 & 0.500 \\ 0.500 & -0.419 & -0.081 \end{bmatrix} \begin{bmatrix} R \\ G \\ B \end{bmatrix}$$

$$\begin{bmatrix} R \\ G \\ B \end{bmatrix} = \begin{bmatrix} 1.000 & 0.000 & 1.403 \\ 1.000 & -0.344 & -0.714 \\ 1.000 & 1.773 & 0.000 \end{bmatrix} \begin{bmatrix} Y \\ Cb \\ Cr \end{bmatrix}$$

### 3.2.4 颜色下采样

本算法中对图片使用 4:2:0 颜色下采样。代码利用了 OpenCV 提供的 `Resize` 函数，实现方式比较取巧：将彩色通道矩阵的长宽均缩小到原来的一半，每个 2\*2 田字形区域内的值取线性平均（`INTER_LINEAR`）作为新的值。

```
resize( channel, channel,
        Size(channel.cols / 2, channel.rows / 2), 0, 0,
        INTER_LINEAR);
```

与之对应的，解码器中将缩小过后的矩阵长宽均放大一倍，每个像素的值会被复制 4 份（`INTER_NEAREST`）并填放在其相邻的 2\*2 区域中。

```
resize( channel, channel,
        Size(channel.cols * 2, cb_channel.rows * 2), 0, 0,
        INTER_NEAREST);
```

### 3.2.5 DCT 变换

与 JPEG 一样，本算法以 8\*8 的块为 DCT 的基本单位。实现 DCT 变换与反变换的方式在 3.1 节中已有详细介绍，这里不做赘述。

$$A(i, j) = c(i) \cos\left[\frac{(j + 0.5)i\pi}{N}\right]$$

$$f = A^{-1}F(A^T)^{-1} = A^T F A$$

$$F = A f A^T$$

### 3.2.6 量化

本算法使用 JPEG 标准中定义的量化矩阵。下图中左侧是亮度通道的量化矩阵，右侧是颜色通道的量化矩阵。

16	11	10	16	24	40	51	61	17	18	24	47	99	99	99	99
12	12	14	19	26	58	60	55	18	21	26	66	99	99	99	99
14	13	16	24	40	57	69	56	24	26	56	99	99	99	99	99
14	17	22	29	51	87	80	62	47	66	99	99	99	99	99	99
18	22	37	56	68	109	103	77	99	99	99	99	99	99	99	99
24	35	55	64	81	104	113	92	99	99	99	99	99	99	99	99
49	64	78	87	103	121	120	101	99	99	99	99	99	99	99	99
72	92	95	98	112	100	103	99	99	99	99	99	99	99	99	99

### 3.2.7 Zigzag

对前一步量化的结果（8\*8 矩阵）进行编码，顺序是左上斜对角到右下，而不是逐行或者逐列。这是为了 DC 与低频的 AC 信号放在一起，方便后续的编码。

本算法中使用查表方式进行 Zigzag 变换。按行从 0 到 63 为矩阵内元素编号，如下方左侧所示；然后进行 Zigzag 扫描，输出向量下标与矩阵内元素编号的对应关系如下方右侧所示。

0	1	2	3	4	5	6	7	0	1	8	16	9	2	3	10
8	9	10	11	12	13	14	15	17	24	32	25	18	11	4	5
16	17	18	19	20	21	22	23	12	19	26	33	40	48	41	34
24	25	26	27	28	29	30	31	27	20	13	6	7	14	21	28
32	33	34	35	36	37	38	39	35	42	49	56	57	50	43	36
40	41	42	43	44	45	46	47	29	22	15	23	30	37	44	51
48	49	50	51	52	53	54	55	58	59	52	45	38	31	39	46
56	57	58	59	60	61	62	63	53	60	61	54	47	55	62	63

这个对应关系不会改变，程序中硬编码了上面右侧的表格，Zigzag 只需要查表做下标变换即可。

```
// Encode
for (i in 0...8)
    for (j in 0...8)
```

```

        dst_vec[ lut[i][j] ] := src_mat[i][j]
// Decode
for (i in 0...8)
    for (j in 0...8)
        src_mat[i][j] := dst_vec[ lut[i][j] ]

```

### 3.2.8 差分编码

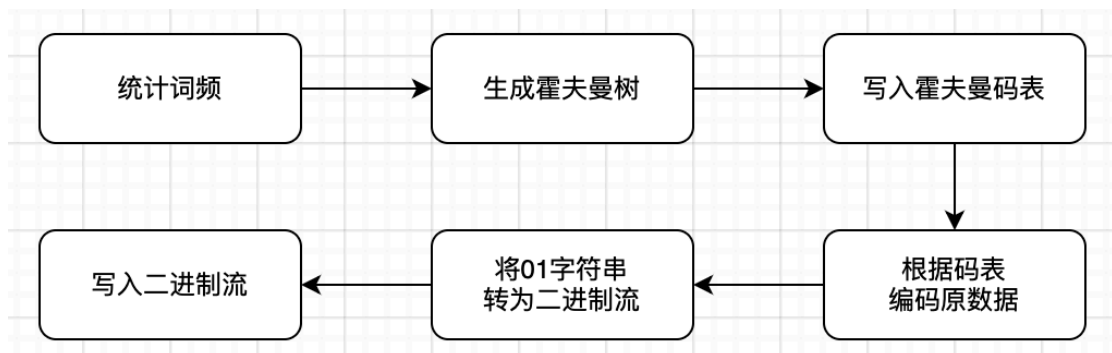
对 DC 分量，即 Zigzag 输出向量中下标为 0 的元素，使用基础的差分编码。

```
data[i] := dc[i] - dc[i - 1]
```

### 3.2.9 游程编码

RLE 游程编码的原理在 3.1 节中已有说明，这里不做赘述。

### 3.2.10 霍夫曼编码



出于实现复杂度与空间利用率的权衡，所有数据共同生成、使用一张霍夫曼码表，码表使用明文写入文件。生成霍夫曼树的算法在 3.1 节中有详细介绍，这里不再重复

C 语言最小支持以字节为单位向文件中写入数据，但是 01 字符串的长度不一定能够被 8 整除，在编码转为二进制流时需要补 0；因此在每一个数据块的头部，需要额外记录 01 字符串的原始长度。

解码时，根据任意霍夫曼编码不可能是其他编码前缀的原理，每次读入一个比特，指针便指向重建的霍夫曼树的左或右孩子；如果指针指向的节点没有后代节点，则读取该节点对应的字符。同时，每读入一个比特，都需要记录已读的数据量，并与总长度进行比对，以防将末尾填充的 0 误作为有意义编码读入。

## 4. Experiment Results

### 4.1 用户界面

可执行文件在命令行环境下运行。编码器可执行文件名为 `encode2708`，使用方法如下，其中源文件可以是任意 OpenCV 支持打开的图片格式：

```
$ ./encode2708 [source picture path] [saved file name]
```

解码器可执行文件名为 `decode2708`，使用方法如下：

```
$ ./decode2708 [source file path]
```

如参数不全会有提示信息，运算过程中会实时输出当前进度：

```
> ./encode2708 case1.png case1.out
Source file: case1.png does not exist.

> ./encode2708 case1.jpg case1.out
Start compress:
    Channel separation
    Color subsampling
    DCT
    Quantification
    Zigzag serialization
    DPCM & RLC
    Huffman encoding
> ./decode2708 case1.out
Start decompress:
    Huffman decoding
    Inverse DPCM & RLC
    Zigzag deserialization
    Inverse quantification
    Inverse DCT
    Picture reconstruction
```

解码成功后会新建窗口显示图片。

### 4.2 效果分析

项目随附了 5 个测试样例，他们的基本信息如下：

名称	分辨率	位图大小	原格式	原大小
case1	1920×2560	14,745KB	jpg	1,018KB
case2	3456×5184	53,748KB	jpg	7,863KB
case3	480×789	1,136KB	png	957KB
case4	3024×4032	36,578KB	png	15,134KB
case5	5504×6421	106,024KB	jpg	8,682KB



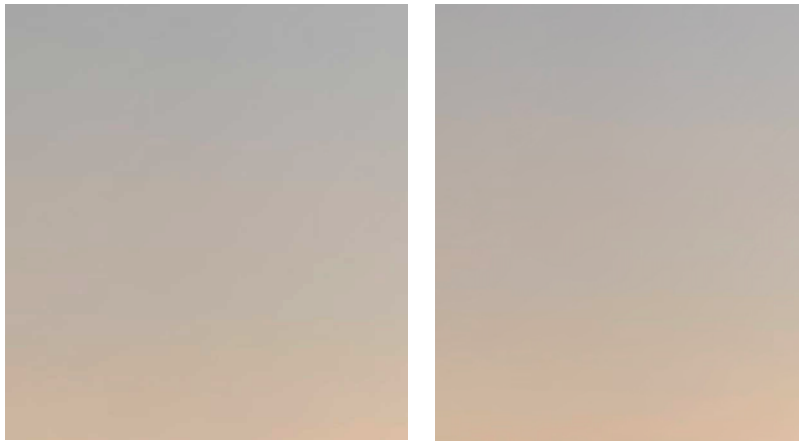
首先测试本算法的压缩效率：

	case1	case2	case3	case4	case5
压缩后大小	393KB	1,085KB	166KB	1,838KB	3,882KB
压缩率（原图）	38.6%	13.8%	17.3%	12.0%	44.7%
压缩率（位图）	2.7%	2.0%	14.6%	5.0%	3.7%

由上表可见，算法的压缩效率比较理想，对比效率较高的 JPEG 格式，压缩率仍然达到了约 40%；对比效率较低的 JPEG 和 PNG 格式，压缩率则进一步提高到 15%左右；对比效率最低的位图，压缩率则普遍在 10%以下，针对有大面积单一颜色的 case2（证件照），压缩率更是达到了 2%，可见 DCT、RLC 等算法作用之显著。

下面分析对比原图画质损失较为明显的两处：

1. 下图左侧是 case1 用本算法压缩后天空，对比右侧原图出现了色彩断层。  
色彩断层在 JPEG 压缩中是一种非常常见的现象，主要原因是颜色的量化粒度较大，不能很好的保留过渡平缓的渐变色。



2. 下图上方是 case5 经本算法压缩后的风车线条，对比下方原图出现了比较明显的锯齿，主要原因是下采样时将颜色值 4 合 1 会破坏斜线原本平滑的边缘，而 case5 中风车上平行且细密的线条使这种现象尤为明显。



除上面两处之外，其余部分画质损失基本不可查，考虑到压缩效果较为显著，我认为这样的画质损失是可以接受的。

## References:

参考网址:

<https://www.jianshu.com/p/b8fa4b368712>

<https://zh.wikipedia.org/wiki/游程编码>

[https://github.com/Harryline-996/MATLAB\\_for\\_JPEG\\_compression](https://github.com/Harryline-996/MATLAB_for_JPEG_compression)

<https://app.diagrams.net>

<https://blog.csdn.net/mjx91282041/article/details/13020543>

<https://zhuanlan.zhihu.com/p/498289926>

<https://zhuanlan.zhihu.com/p/28766366>

<https://blog.csdn.net/crayfish104/article/details/118031793>

特别感谢:

<https://chat.openai.com/>